

198276

鋼軋輥的 自動堆焊

И.И.伏路敏 В.К.彼得里欽柯 著

邢培林 譯

776
12368

冶金工业出版社

鋼 軋 輓 的 自 动 堆 焊

И.И.伏路敏 B.K.彼得里欽柯 著

邢 培 林 譯

冶金工業出版社

本書中列舉了鋼軋輥在熔劑層下自動堆焊過程的簡要情況，關於自動堆焊工藝和技術的主要資料，敘述了應用於這方面的各種材料。給出了自動堆焊時所用設備的特性並列舉了選擇軋輥堆焊和熱處理規程的指示。

書中闡述了已運用堆焊的先進企業的經驗。

本書是對於採用自動堆焊鋼軋輥及其他設備零件的企業中工程技術人員的實際指南。

И.И.Фрумин, В.К.Петриченко

АВТОМАТИЧЕСКАЯ НАПЛАВКА СТАЛЬНЫХ ПРОКАТНЫХ ВАЛКОВ
Металлургиздат(Харьков-1956)

鋼軋輥的自動堆焊

邢培林 譯

編輯：叶建林 設計：趙香苓 魯芝芳 責任校對：楊德昭

1958年8月第一版

1958年8月北京第一次印刷3,000冊

850×1168·1/32·63,200字·印張·3³⁰₃₂·定價(10) 0.70元

冶金工业出版社印刷厂印

新华书店发行

書號 0870

冶金工业出版社出版(地址：北京市灯市口甲45号)

北京市書刊出版業營業許可証出字第093号

目 录

序言	5
I. 熔剂下的自动堆焊	8
1. 方法的实质	8
2. 熔剂层下堆焊时的电弧	9
3. 堆焊焊道的形成	13
4. 堆焊时的热传播	20
5. 堆焊时的内部应力	23
6. 堆焊金属和热影响区的组织	24
7. 堆焊金属的化学成份	28
8. 在堆焊金属中形成气孔的防止	33
9. 堆焊时形成裂纹的防止	35
10. 熔渣壳的去除	38
II. 堆焊时应用的材料	41
11. 熔剂	41
12. 标准焊条钢丝	45
13. 用于堆焊的粉芯焊丝和特殊焊丝	48
III. 轧辊自动堆焊工艺和技术概论	53
14. 基本金属和堆焊金属	53
15. 轧辊的堆焊技术	54
16. 轧辊堆焊前的准备	65
17. 用 3X2B3 钢 堆焊轧辊时的热处理	67
18. 堆焊的缺陷, 原因, 防止和矫正方法	70
19. 用自动堆焊修复轧辊尺寸	73
20. 用自动堆焊提高轧辊耐磨性的实例	74

21. 繼續提高自動堆焊生產率和效果的途徑	77
IV. A-384 堆焊機	79
22. A-384 堆焊機的構造	79
23. A-384 堆焊機的調整和開動	87
V. 軋輥堆焊机床	93
24. 對於堆焊机床的基本要求	93
25. 堆焊机床的型式	102
26. 堆焊机床的現有設計	103
27. 堆焊裝置的成套設備及其在車間中的布置	110
VI. 堆焊裝置的電氣設備	112
28. 直流電焊機	112
29. 焊接變壓器	116
30. 加熱軋輥用的感應器	117
VII. 堆焊時的安全技術	124
參考文獻	125

序　　言

提高軋輶的使用寿命是提高軋鋼机生产率的方法之一。在这种情况下生产率的增加是依靠减少換輶次数和調整过程中的停車时间以及加快軋制速度来达到的。

近 20 年来进行了很多为提高軋輶使用寿命的試驗研究工作。这些工作的結果已成功地使軋輶的使用寿命增加了 0.5~2 倍。

应用球墨鑄鐵以鑄制带白口軋槽的軋輶是提高鑄鐵軋輶使用寿命的主要方法。

为了制造軋輶采用过共析的合金鋼，如 Y15XHM 号鋼，或者应用軋輶表面火焰淬火可以从本質上提高鋼軋輶的使用寿命。

电弧堆焊是提高軋輶使用寿命的最有效的新方法。这种方法除去提高使用寿命之外也可以修复軋輶的原来尺寸，因而保証軋制速度固定不变。

軋輶采用手工电弧堆焊的最初試驗是在 1940~1941 年。在战后时期軋輶用敞弧的手工电弧堆焊在很多冶金工厂中得到了应用。

軋鋼时个别軋槽的尺寸或部份軋槽比其他軋槽磨损較大的或损坏的一般都用堆焊法修复。直到现在为了堆焊多半都采用带白粉药皮的焊条。这时堆焊部份具有較低的使用寿命。某些軋管厂为了堆焊周期式軋管机的軋輶都采用带有提高堆焊金屬含碳量的药皮的高合金鉻鎳焊条。在这种情况下堆焊金屬具有奧氏体組織。用这种方法堆焊的軋輶都有令人滿意的耐磨性，比用碳鋼制的軋輶要高 1~2 倍。用高合金鋼焊条的手工堆焊在奥地利和瑞典的几个工厂中也在应用。

但是，由于手工堆焊法的生产率低，劳动量大，决定于焊工技术和經驗的堆焊质量不够稳定，以及对焊工健康有害的劳动条件

件，使这种方法不可能在工业中得到广泛应用。

在 E.O. 巴頓院士領導下創造了熔剂层下的自动焊法以后，出现了用电弧堆焊法从技术上完善解决提高軋輶寿命問題的可能性。

軋輶的自动堆焊工艺是从 1945 年在 E.O. 巴頓电焊研究所中創立的。試驗証明了当堆焊焊道断面一定时高度的生产率和金属的良好成形。修复軋輶尺寸的可能性已經得到証实。

但是采用这种方法在很长期並沒能够提高軋輶的使用寿命。在創造了使堆焊金属合金化的方法，特殊熔剂的組成，防止在堆焊层中出现气孔和裂紋的方法等以后❶，在 1952 年得到了满意的解决。1952年末在德涅伯彼得罗夫斯克列宁軋管厂开始了新方法的生产試驗。在工厂中軋管机的三年工作証明了用自动堆焊法制造和修复钢軋輶的优越性。

堆焊軋輶的使用寿命比普通钢軋輶的寿命平均高出 5~7 倍，而在个别机座中高出 9~14 倍。軋輶的消耗減少了 95% 以上。每年大約能节约 80 万卢布。

1954 年 4 月在錫納拉軋管厂运用了軋輶的自动堆焊。使用堆焊以前在两次換輶之間軋輶的磨損为 6~8 公厘；每昼夜換輶一次。采用堆焊的軋輶可以減少換輶次数五分之四，并且經軋制五昼夜以后軋輶的磨損不超过 0.5 公厘。

1954 年 7 月在彼得罗夫斯基冶金工厂运用了堆焊，在这个工厂堆焊的軋輶开始在 550 軋鋼机上用来軋制汽車輪圈。軋制这种产品时曾經大大提高了軋鋼机的生产率（达 70%），減少了停車时间和軋輶的消耗。

在 1954 年的技术杂志上出現过为了提高軋輶使用寿命 在美国和德意志联邦共和国采用自动堆焊的第一次报导。根据杂志上的論文判断，这些工作还没有离开試驗研究的阶段。

❶ H.H. 福魯明，用堆焊法提高軋輶使用寿命《自动焊接》1954, 3.

黑色冶金生产組織与科学研究所从1954年就在黑色冶金企业中从事自动堆焊的应用工作，在这个机构中完成了各种型式的堆焊装置和用于轧輶热处理的感应器等的设计。

馬格尼托哥尔斯克金属制品和冶金工厂在1954年掌握了耐磨堆焊所必需的粉芯焊丝的集中生产。

自动堆焊在最近几年应当成为所有应用钢轧輶的冶金工厂的日常实践。

以下同志积极参加了轧輶自动堆焊在工业中的运用：B.C.西林，Φ.A.赫木斯柯，C.C.萨文柯，A.B.米里尼克，B.Π.苏波托夫斯基，B.A.拉普钦柯，B.H.柯里斯内克，(E.O.巴顿电焊研究所)，B.C.沙皮洛（苏联黑色冶金部技术管理局），B.C.涅尼亞，B.Г.奧波洛寧（黑色冶金生产組織与科学研究所），Π.Π.布赫，T.C.舍格尔，Л.Г.文格罗夫斯基，K.A.札柯拉，C.B.涅木错夫（列宁工厂），З.А.索敏斯基，B.I.布拉依洛夫斯基（锡纳拉轧管厂）等。

I. 熔剂下的自动堆焊

1. 方法的实质

自动堆焊用熔化金属焊条的电弧焊法来进行。电弧在通有电流的零件和焊丝之间燃烧。电弧熔化零件金属和焊丝。为了保护熔化金属免受空气中气体的有害影响，以及为了保存电弧的热量和防止金属的飞溅采用粒状的熔剂，用一厚层熔剂复盖在堆焊区域上。电弧使熔剂部份熔化并在由熔化了的熔剂形成的弹性外壳中的空间燃烧，这个外壳可靠地将熔炼空间隔绝空气的影响。当熔剂气泡内的压力增高时外壳可以被电弧放出的气体向外冲破。

熔剂层下堆焊过程的示意图见图1。焊条钢丝1以一定速度

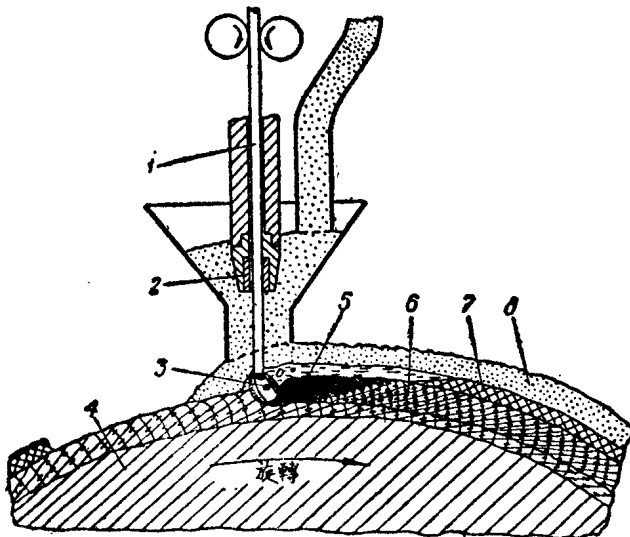


图1 自动堆焊过程示意图

1—焊条钢丝；2—导电器；3—电弧；4—堆焊零件；5—焊接熔潭；
6—堆焊焊道；7—熔渣壳；8—未熔化的熔剂

連續向电弧中供給。电流在鋼絲直接临近电弧的部份借偏心固定套管 2 传給鋼絲。鋼絲在电弧 3 中熔化。金屬熔滴通过电弧間隙和零件 4 的熔化金屬相混合並形成焊接熔潭 5。結晶以后得到蓋有熔渣壳 7 和未熔熔剂 8 的堆焊焊道 6。堆焊迴轉的零件时过剩的熔剂落下来，而已冷却的熔渣壳在零件該部份重新接近电弧之前清除掉。

在示意图中表明了成两层的堆焊。

为了从一盘鋼絲中供給焊絲采用特殊的供給机构——焊接机头。熔剂从漏斗中落到零件的表面上，熔剂未熔化的部份再放回到漏斗中去。

用自动堆焊在各种形状的零件表面上可以加上一层厚度由 1 到 40 公厘的和零件形成一个整体的金属。

自动堆焊的生产率以单位时间內堆焊的金属数量测定（用单弧堆焊时生产率由 4 到 15 公斤/小时）。必要时生产率可以用几台堆焊机同时工作来提高。

由于过程的連續性和应用强大电弧的可能性，自动堆焊的生产率为手工堆焊的 5~10 倍。比較完善地保护了液体熔潭免于空气作用和延长金属在液体状态的持续时间促使堆焊金属提高了质量是自动堆焊的重要优点。自动堆焊时显著地改善劳动条件：不必要保护焊工的眼睛免于受到弧光的损害；工作地点不需要特别的通风；堆焊装置可以安装在一般机械车间或轧輶車削车间内。

自动堆焊所能保证的稳定质量，不涉及工人的技术，以及工人在短时间内成功掌握自动堆焊的可能性也是这种方法比手工敞开弧堆焊的重大优点。

2. 熔剂层下堆焊时的电弧

电弧是在气体介质中放电的形式之一。在一般条件下气体都

不导电。当加热到 3000°C 以上时气体即变成导电的了。

在电弧的电极上（焊丝和基本金属上）都发生活性点（активное пятно）——加热到焊条和基本金属的沸点的区域。焊接电流经活性点通过，光亮弧柱的核心即位于活性点之间。

电弧的稳定性决定于焊接电流电源端头上电压的大小。用交流电堆焊时变压器的空载电压应不低于 70 伏特。在工厂的电路中经常发现电压的显著波动，这引致电弧稳定性的破坏。所以应当尽量由直流电焊机用直流电供给电弧。用直流电堆焊时空载电压应不低于 60 伏特。

电弧的稳定性也与熔剂的组成有关：在电弧中形成的四氟化矽 (SiF_4) 越多，电弧的稳定性越坏。 SiF_4 的形成对于防止气孔是必要的，所以往往不得不容许降低电弧的稳定性。

在应用的熔剂中 ОСЦ-45 熔剂的稳定性能较差。

焊条钢丝的熔化速度决定于它的化学成份（化学成份决定金属的熔点和热容量），以及电流的种类和极性。通常用熔化系数 K_n 测量焊丝的熔化速度，该系数以每安培小时的克数来表示。用直流电反极性（焊条——正，零件——负）时表现出足够均匀的熔化速度。在这种情况下用低碳钢焊丝堆焊时：

$$K_n = 11.6 \pm 0.4 \text{ 克/安培-小时}$$

并且和熔剂的组成无关。

当用直流电正极性（焊条——负）堆焊时，熔化系数与熔剂的组成有关。熔剂加热到高温时四氟化矽的析出降低电弧的稳定性，同时增加焊条的熔化速度。正极性时的熔化速度永远大于反极性时的熔化速度。

用低碳钢丝在 AH-348A 熔剂下堆焊时可以利用以下公式：

$$K_n = 2.8 + 0.1 \frac{I_A}{d} \text{ 克/安培-小时}, \quad (1)$$

式中 I_A —— 接电流，安培；

d ——焊条直径，公厘。

用交流电堆焊时极性每秒变换 100 次。焊丝熔化速度与熔剂组成的关系比用直流电时表现得较弱。对于 AH-348A 熔剂和低碳钢丝的熔化系数由下式决定：

$$K_n = 7.0 + 0.040 \frac{I_d}{d} \text{ 克/安培·小时。} \quad (2)$$

这些公式都只考虑到焊条被电弧热量的熔化。熔化系数也会由于焊条《伸出段》的加热而加大，伸出段也就是焊条上从电流导入点到电弧的一段，强大的电流从中通过。熔化系数 K_n 由于伸出段的加热而增值 ΔK_n 。焊条直径越小，伸出段越长和电流越大， ΔK_n 值则越大。关于 ΔK_n 值与上述因素的关系的概念示于图 2。

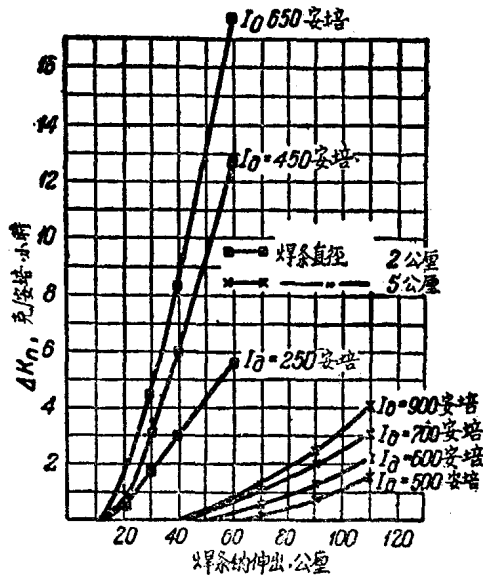


图 2 当焊条直径和电流强度 I_d 不同时 ΔK_n 值与伸出长度之关系。低碳焊条钢丝

焊条钢丝的实际熔化系数等于 $K_n + \Delta K_n$ 之和。焊着系数

差不多和熔化系数相等，因为在熔剂下堆焊时飞溅损失不超过1.5%。

由上述得出，当焊接或堆焊的条件一定时一定直径的焊条钢丝的熔化速度决定于焊接电流的大小。实际上也有相反的情况：对于一定直径的焊条钢丝当电弧可以稳定燃烧时的电流强度决定于焊丝往电弧中供给的速度。

电流强度一定时电弧电压可以在相当宽的范围内变动。如果供电电源的空载电压至少比电弧电压高出10伏特以上，电弧的稳定燃烧就有保证。电压的变化带来电弧长度的相应变化：电压越低，电弧越短。

沿不平整的平面堆焊时，电弧的伸缩性，它加长和缩短的能力用自动调整——在熔剂下燃烧的强力电弧的可靠性能——来保证。当电弧偶然缩短时电弧间隙的电阻下降，电流增大，焊条钢丝的瞬时熔化速度相应地增加，结果使电弧恢复正常长度。

当电流强度大小一定时，电弧的稳定性决定于焊条直径，因为仅在电流强度和焊条钢丝直径成一定比例时才保证自动调整。焊丝直径一定时提高电流强度就能增加电弧的稳定性。进行堆焊工作时为了选择焊接电流的大小可以参考表1（用于直流电反极性的数据）。

表 1

焊接电流 (安培)	钢丝 直 径 (公厘)	
	III-3×2B8号粉芯焊丝	18XGCA号普通焊丝
180~400	3.0	2.5
220~500	3.5	3.0
280~600	4.0	—
330~700	—	4.0

堆焊规程一般系根据零件的形状和尺寸选择，采用大的电流强度并不是永远都可能的。堆焊小直径的回转物体时电流强度

必須降低到 100~120 安培。在这种情况下为了使电弧稳定必須采用直径較小的鋼絲。这样，在实际上有时使用直径 1.2 公厘的普通鋼絲和直径 2.2 公厘的粉芯焊絲。

3. 堆焊焊道的形成

在熔剂层下堆焊时焊条的熔化金屬成各种尺寸的熔滴形式进入焊接熔潭。熔滴从焊条上分离是由于重力、电动力以及由于金屬析出一氧化碳的剧烈《沸腾》造成的。在焊条端部的熔化了的金屬熔滴內部氧和溶解于金屬中的碳相互作用而形成一氧化碳。形成气体的体积比金屬体积大很多倍。膨胀的气体将冲破金屬熔滴並把它們炸碎。

一部份金屬在焊条端部蒸发。进入电弧柱中的金屬蒸气，一氧化碳和其他气体都被加热而膨胀，形成好像是焊条芯延长的气流。电弧不断改变它的位置，但一般不会离开这个气流的范围。

在燃弧时弧柱成垂直位置。当焊条或零件移动时弧柱向和焊接方向相反的一方倾斜。这是由于基本金屬上的活性点落后于移动着的焊条的缘故。

在电子和离子的轰击以及弧光的作用下，基本金屬被熔化。它和焊条金屬的熔滴相混合並形成焊接熔潭。电弧的气流給熔潭表面以压力。电弧压力与电流强度的平方成正比；它随电流密度的增加而加强（焊条直径減小时），並随电弧間隙的增大而減弱（增加电弧长度时）。

电弧的压力引致在焊条下面的焊接熔潭中形成叫作焊坑的深窪。液体金屬从焊坑中被排到熔潭的尾部。电弧沉入基本金屬层中越深（焊坑越深），基本金屬熔化的深度（熔透）越大。基本金屬深的熔透是熔剂层下焊接的特点。基本金屬在堆焊焊道中所占的比例决定于基本金屬的熔透面积 F_t 对焊道整个断面面积 F_n

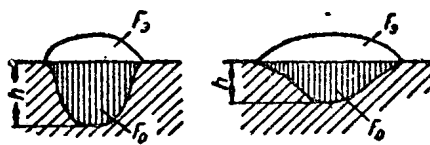


图 3 堆焊規范不同时堆焊焊道的断面

h —熔透深度； F_o —基本金属的熔透面积； F_s —焊条熔化形成的面积

的比例（图 3）：

$$\tau = \frac{F_o}{F_o + F_s} = \frac{F_o}{F_n} \quad (3)$$

τ 值的范围很宽。在普通焊接条件下 τ 为 0.60~0.65。堆焊时深熔透是不希望的，因此都采用可以将 τ 降低到 0.25~0.40 的各种工艺方法（见 28 頁第 7 节）。

在图 4 中图解了堆焊区縱向和横向的断面。电弧熔化基本金属并把它从焊坑中排出（I）。熔化了的基本金属和焊条金属在焊

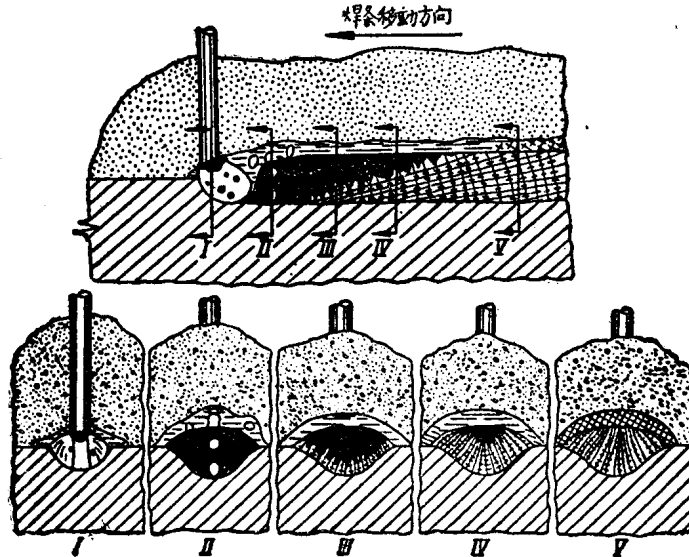


图 4 堆焊区縱向和橫向的断面

接熔潭中混合。溶解的气体进行排除（I）。随着电弧的远离，被研究断面的热量向零件本体的传导加强，而由电弧放出的热流减弱。在未熔化的金属边界上开始结晶（II）。金属逐渐凝固（IV）。熔剂在焊条的后面发生熔化。液体熔剂不妨碍气体的排出（II），但可靠地保护熔潭不致和空气相接触。液体熔剂在粒状熔剂层下流散，将边缘预热，并使其易于被通过电弧的过热金属所熔化。电弧越长，得到的焊道越宽。因为熔化了的熔渣有相当多的热量储存，所以到熔潭凝固终了它仍保留为液体，不妨碍气体从其中自由排出并使焊道金属缓慢冷却。熔渣凝固以后变为一般很容易从堆焊金属表面清除的渣壳（V）。

以下说明某些因素对堆焊过程和堆焊焊道成形的影响。

零件和焊条的倾斜对于堆焊过程的影响

保持焊坑中和熔潭中液体金属固定不变的水平面差是堆焊过程正常进行的必要条件。液体金属（和熔剂）的流体静压力与电弧压力相均衡，如图 5 所示。

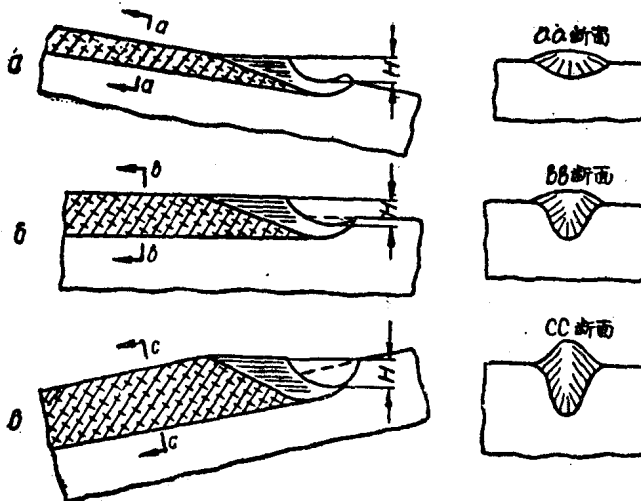


图 5 堆焊规范相同时零件的倾斜对熔透深度的影响。

电弧压力与液体金属的平面差 H 相均衡 (K.B. 柳巴夫斯基)

堆焊焊道的成形决定于电弧压力和液体熔潭流体静压力的均衡，以及液体金属和熔剂的流动情况。

如果零件的堆焊部份向焊条移动的一方倾斜（下坡焊接，图5a），熔潭中的液体水平面即提高。焊坑中的水平面相应地提高——金属好像要在电弧下面流开并把它从零件的深窑处排出。气流有可能分布到大的表面上，电弧的压力即减弱。结果熔透深度减少，而堆焊焊道的宽度加大。用试验的方法已经确定，当倾斜到 $6^{\circ} \sim 8^{\circ}$ 时堆焊焊道的形状发生这样的改善。继续加大倾斜角时在焊道边缘出现叠积（Подворот）和未熔透。倾斜 $14^{\circ} \sim 16^{\circ}$ 时金属发生剧烈的流散，以致电弧的热量不够使基本金属熔化；在这种情况下熔化了的焊条金属与零件不相熔合，并且在凝固以后很容易从零件上脱落。

零件向与焊条移动方向相反的一方倾斜（上坡焊接）引致焊坑中和熔潭后部金属的水平面降低。结果熔透深度加大，而宽度减少。形成熔透很深的狭窄焊道。倾斜超过 $6^{\circ} \sim 8^{\circ}$ 时出现成形缺陷。

堆焊圆形零件时经常利用焊道成形的这些特点：把焊条从顶点移向与迴转方向相反的一边，这样焊接即在下坡上实现。

为了确定焊条应从顶点移开多少，必须知道焊接熔潭的长度，它可以按下式近似地算出：

$$L = 0.0032 I_A U_A, \quad (4)$$

式中 L ——熔潭长度（公厘），

I_A ——焊接电流（安培）；

U_A ——电弧电压（伏特）。

熔潭长度实际上与堆焊速度的关系很小。

焊条的倾斜对金属的堆积和堆焊焊道的成形也发生影响。堆焊圆形零件时焊条一般位于垂直位置。有时候利用焊条横断焊道的倾斜，这使堆焊靠近轴肩的轧辊表面较为容易。焊条的倾斜角